

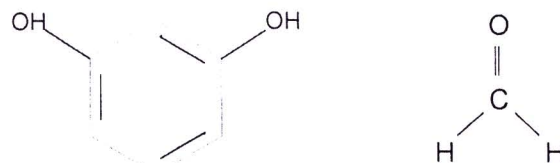
บทที่ 2

ความรู้เบื้องต้นและงานวิจัยที่เกี่ยวข้อง

2.1 วัสดุкар์บอนที่มีรูพรุนและรีโซซินอล-ฟอร์มอลดีไฮด์เจล (Resorcinol-Formaldehyde gel: RF gel หรือ RF gel)

ในปัจจุบันการแบ่งแยกวัสดุкар์บอนที่มีรูพรุนนั้น สามารถแบ่งตามขนาดของรูพรุนได้เป็น 3 แบบตามระบบของ IUPAC (International Union of Pure and Applied Chemistry) คือ แบบไมโครโพอร์ (micropore: ขนาดรูพรุน น้อยกว่า 2 นาโนเมตร) แบบเมโซโพอร์ (mesopore: ขนาดรูพรุนอยู่ระหว่าง 2 ถึง 50 นาโนเมตร) และ แบบแมกโรโพอร์ (macropore: ขนาดรูพรุน มากกว่า 50 นาโนเมตร) วัสดุкар์บอนที่มีรูพรุนนั้นสามารถเต็รียมได้จากวัสดุที่เป็นแหล่งกำเนิดкар์บอน (Carbon precursor) อย่างเช่น เมลามีน-ฟอร์มอลดีไฮด์ (Melamine-Formaldehyde) พีโนล-ฟอร์มอลดีไฮด์ (Phenol-Formaldehyde) (Lin และคณะ (2005)) พีโนลิก โนโวแลค เรซิน-เฟอฟอรัล (Phenolic novolak resin-Furfural) โพลียูเรเทน (Polyurethane) โพลีไวนิลคลอไรด์ (Poly-vinyl chloride) (Mukai และคณะ (2005) และ Wei และคณะ (2007)) และ รีโซซินอล-ฟอร์มอลดีไฮด์ (Resorcinol-Formaldehyde: RF gel) เป็นต้น อย่างไรก็ตามวัสดุкар์บอนรูพรุนส่วนใหญ่จะใช้ RF gel เป็นวัสดุแหล่งกำเนิดкар์บอนและโดยปกติแล้ว RF gel สามารถเต็รียมได้จากปฏิกิริยาควบแน่นด้วยเทคนิคโซล-เจล (Sol-gel polycondensation) ของ รีโซซินอลกับฟอร์มอลดีไฮด์ควบคู่กับการใช้ตัวเร่งปฏิกิริยาชนิดกรดหรือด่าง (Acid or Base catalysts) ก่อนจะนำไปเข้าสู่กระบวนการรอบแห้ง (Drying processing) และนำ RF gel ที่ได้ไปเผาให้เป็นкар์บอน สุดท้ายจะได้วัสดุкар์บอนรูพรุนที่มีลักษณะเฉพาะตัว

ริโซซินอล (Resorcino) เป็นสารประกอบเบนซีนที่ประกอบด้วยหมู่ไฮdroอกซิล 2 หมู่ (Dihydroxy Benzene) และมีสูตรโมเลกุลคือ $C_6H_4(OH)_2$ ส่วนฟอร์มอลดีไฮด์ (Formaldehyde) เป็นสารประกอบอินทรีย์ (Organic compound) และมีสูตรโมเลกุล คือ CH_2O

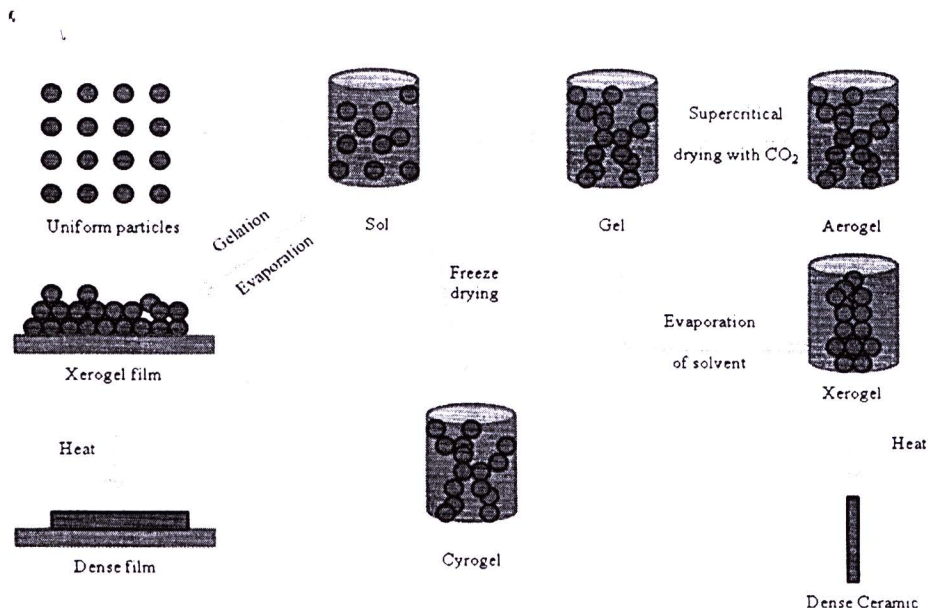


ริโซซินอลสามารถเกิดปฏิกิริยา กับฟอร์มอลดีไฮด์ ในตำแหน่งที่ 2 4 และ 6 ของวงอะโรมาติก (Aromatic ring) ในปฏิกิริยาการควบแน่นของโซล-เจล โดยการปรับเปลี่ยนอัตราส่วนโดยไม่ลดของสารเข้าทำปฏิกิริยาหรือสารตั้งต้น (Reactant) อุณหภูมิ ชนิดของตัวเร่งปฏิกิริยา รวมทั้งความเป็นกรด-ด่างที่สภาวะเริ่มต้น (Initial pH) มีจจัยเหล่านี้ล้วนมีอิทธิพลต่อการเกิดปฏิกิริยาควบแน่นของโซล-เจล และจะส่งผลต่อเนื่องถึงลักษณะของ RF gel ที่สังเคราะห์ได้ด้วย

2.2 กระบวนการโซล-เจล (Sol-Gel processing)

ในอดีตกระบวนการโซล-เจล ถูกใช้สำหรับเตรียมวัสดุโลหะออกไซด์ (Metal oxide) เช่น TiO_2 , SiO_2 และ ZnO_2 โดยอาศัยเทคนิคทางเคมีแบบเปียก (Wet-chemical technique) ซึ่งพบว่ามีประโยชน์อย่างยิ่งในการผลิตสารที่เป็นวัสดุที่มีคุณสมบัติเฉพาะตัวหรือวัสดุที่ต้องการความบริสุทธิ์สูง ทั้งนี้เนื่องจากเป็นการเตรียมสารหรือวัสดุในระดับโมเลกุลทำให้สามารถกำหนดคุณสมบัติที่ต้องการได้โดยทั่วไปกระบวนการโซล-เจลเป็นกระบวนการที่มีการเปลี่ยนแปลงสถานะจากของเหลวที่เรียกว่า โซล (Sol) ซึ่งส่วนใหญ่อยู่ในรูปของสารละลาย (Solution) หรือ อนุภาคคลอloyd (Colloidal particles) ที่มีขนาดอนุภาคประมาณ 0.1-1 ไมครอนให้กล้ายเป็นของแข็งที่เรียกว่า เจล (Gel) (ดังแสดงรูปที่ 2.1) หลังจากนั้นนำเจลที่ได้ไปอบแห้งเพื่อระเหยน้ำหรือตัวทำละลายออก โดยกระบวนการระเหยน้ำหรือตัวทำละลายออกจากโครงสร้างเจลจะทำให้เจลเกิดรูพรุนปรากน้ำขึ้น

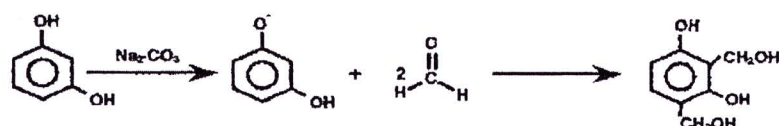
ต่อมา Pekala และคณะ (Al-Muhtaseb และคณะ (2003)) เป็นกลุ่มแรกที่ประสบความสำเร็จในการใช้แหล่งกำเนิดคาร์บอนชนิด RF gel ซึ่งมีโครงสร้างภายในเป็นรูปชุดแบบเมโซ่ โดย RF gel สามารถเตรียมได้จากการกระบวนการโซล-เจล (Sol-gel processing) โดยมีโซเดียมคาร์บอเนต (Sodium carbonate: Na_2CO_3) ทำหน้าที่เป็นตัวเร่งปฏิกิริยาชนิดด่าง และใช้เทคนิคการอบแห้งด้วยสภาวะเหนืออุบัติ (Supercritical drying) ซึ่ง RF gel ที่เตรียมได้ด้วยกระบวนการการอบแห้งนี้เรียกว่า “แอโรเจล (Aero gel)” ดังแสดงในรูปที่ 2.1



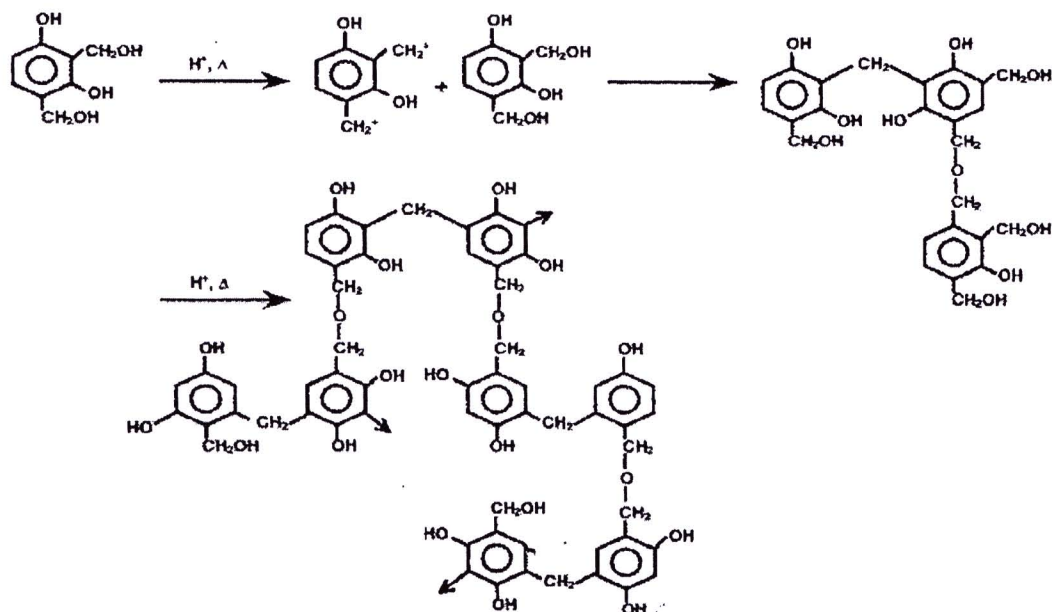
รูปที่ 2.1 ลักษณะหัวไปของกระบวนการโซลเจล

ปฏิกิริยาสำคัญที่เกิดขึ้นในกระบวนการโพลี-เจลสำหรับการสังเคราะห์ RF gel มี 2 ปฏิกิริยา คือ ปฏิกิริยาการเติม (Addition reaction) และ ปฏิกิริยาการควบแน่น (Polycondensation) (ดังรูปที่ 2.2)

1. Addition Reaction

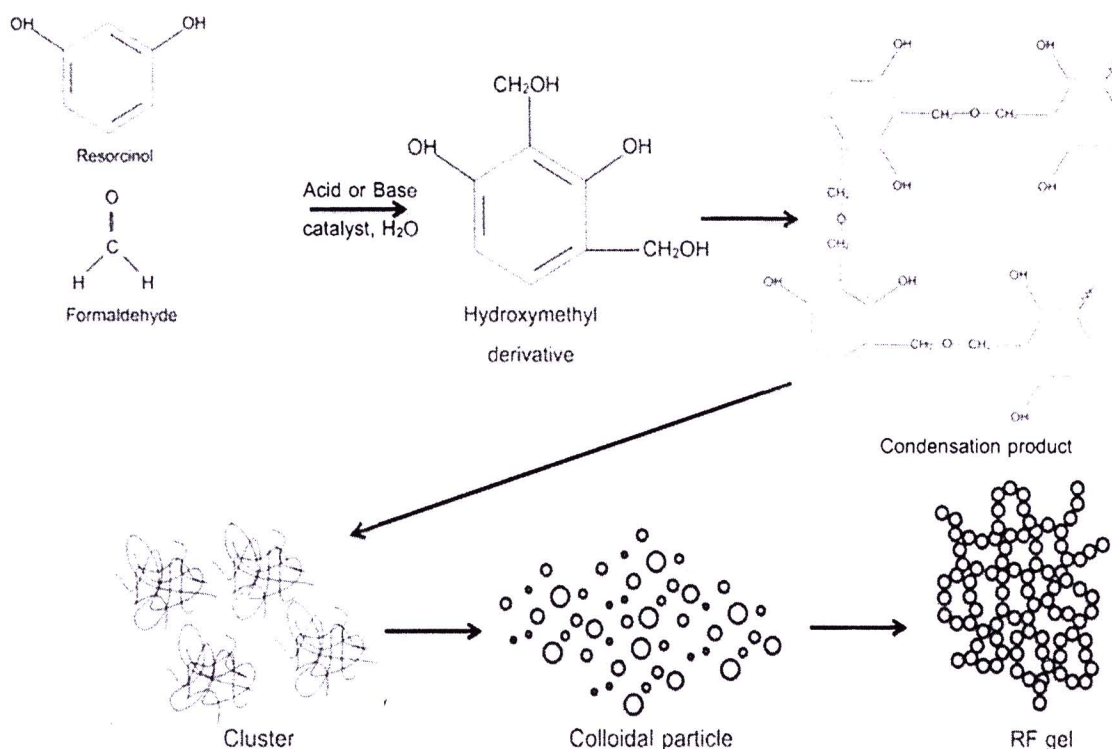


2. Condensation Reaction



รูปที่ 2.2 กลไกการเกิดปฏิกิริยาที่เกี่ยวข้องในการสังเคราะห์ RF gel (Al-Muhtaseb และคณะ (2003))

จาก群ที่ 2.2 ขั้นตอนแรกเริ่มต้นด้วยการเป็นรีโซรซินอลแอน (Resorcinol anion) ในสภาวะที่เป็นด่างเนื่องจากสูญเสียไฮโดรเจนไออ่อนไป ต่อมาเริ่มต้นด้วยการเกิดปฏิกิริยาการเติม เกิดเป็นอนุพันธ์ของไฮดรอกซีเมธิล (Hydroxymethyl; -CH₂OH) ซึ่งมีความง่ายต่อการเกิดปฏิกิริยามาก อนุพันธ์ของไฮดรอกซีเมธิลนี้จะเกิดปฏิกิริยาควบแน่น (Polycondensation reaction) ในขั้นตอนต่อมา กล่าวคือ อนุพันธ์ของไฮดรอกซีเมธิลจะเข้ารวมตัวกับสารตั้งต้นที่เหลือโดยปฏิกิริยาควบแน่น โดยเชื่อมต่อกันด้วยหมู่ Methyl (-CH₂-) และหมู่ Methyl ether (-CH₂-O-CH₂-) เกิดรวมกันเป็นกลุ่ม (Cluster) อนุภาคที่ยึดติดเชื่อมต่อกันเป็นโครงร่าง 3 มิติทำให้เกิดเป็นโครงสร้างที่มีลักษณะเป็นรูปrunขนาดเส้นผ่าศูนย์กลางอยู่ในช่วง 7 ถึง 10 นาโนเมตร (แสดงดังรูปที่ 2.3)



รูปที่ 2.3 แสดงการเกิดวัสดุพูนของ RF gel

ปัจจัยสำคัญที่มีผลต่อการเกิดปฏิกิริยา คือ ความเป็นกรด-ด่างที่สภาวะเริ่มต้น (Initial pH) ชนิดของตัวเร่งปฏิกิริยา อัตราส่วนโดยมวลของสารตั้งต้นและอุณหภูมิ การควบคุมปัจจัยเหล่านี้ในสภาวะที่แตกต่างกันจะทำให้ได้โซลและเจลที่มีสมบัติและโครงสร้างที่ต่างกัน จากงานวิจัยที่ผ่านมา Al-Muhtaseb และคณะ (2003) ได้ร่วบรวมวิธีการสังเคราะห์และสมบัติของรีโซซินอล-ฟอร์มอลดีไฮด์ คาร์บอน เจล (Resorcinol-Formaldehyde Carbon gel) พบว่า การปรับเปลี่ยนอัตราส่วนโดย mole ระหว่างตัวเร่งปฏิกิริยาชนิดต่าง (โซเดียมคาร์บอเนต: Na_2CO_3) และน้ำ(Catalyst-to-water ratio; C/W) มีผลต่อการเกิดและโตของอนุภาคแขวนลอยในช่วงแรก แม้ว่าจะปรับเปลี่ยนให้อัตราส่วนระหว่างรีโซซินอลและตัวเร่งปฏิกิริยา(Resorcinol-to-catalyst; R/C) และอัตราส่วนระหว่างรีโซซินอล และน้ำ (Resorcinol-to-water; R/W) ให้อยู่ในช่วง 12.5 ถึง 200 มอลต่อกรัม และ 0.125 ถึง 0.5 มอลต่อกรัมตามลำดับ ทั้งนี้เนื่องจากเมื่อค่าอัตราส่วน C/W มีค่าสูงขึ้นนั้นจะทำให้อัตราการเกิดและโตของอนุภาคแขวนลอยสูงขึ้นด้วย แต่ในขณะเดียวกันปริมาณอนุภาคแขวนลอยในขั้นสุดท้ายก็มีค่าลดลง ทำให้ส่งผลต่อรูปจนของ RF gel มีขนาดและปริมาตรเล็กลงด้วย ทั้งนี้สามารถอธิบายถึงกลไกที่เกิดขึ้นได้ว่า ที่ค่าอัตราส่วน C/W มีค่าสูงนั้น มีปริมาณรีโซซินอลแอนไอโอนเกิดมากขึ้น ทำให้ช่วยเร่งอัตราการเกิดปฏิกิริยาแบบเติมและส่งผลให้เกิดอนุพันธ์ของไฮดรอกซีเมธัลจำนวนมากซึ่งเกิดรวมกลุ่มกันเป็นก้อนด้วยปฏิกิริยาการควบแน่น ทำให้มีอนุภาคที่เกิดขึ้นในช่วงแรกเป็นจำนวนมากและอนุภาคที่ได้มีขนาดเล็ก ด้วยเหตุนี้เจลที่เกิดขึ้นจึงมีขนาดของช่องว่างระหว่างอนุภาคเล็กและรูปจนที่เกิดขึ้นจึงมีขนาดเล็กตามไปด้วย ในทางตรงกันข้ามเมื่อสามารถทำให้คาดเดาได้ว่าเมื่ออัตราส่วน C/W มีค่าลดลง เจลที่ได้จะมีขนาดของช่องว่างระหว่างอนุภาคที่ใหญ่ดังนั้นรูปจนที่ได้จึงมีขนาดใหญ่

Babic และ คณะ (2004) ได้ศึกษาอิทธิพลของอัตราส่วนโดยโมลระหว่างรีโซซินอลและน้ำ (R/W ratio) ในกระบวนการการอบแห้งแบบเยือกแข็ง (Freeze drying) ที่ส่งผลต่อลักษณะเฉพาะตัวของโครงสร้างของ RF gel ที่สังเคราะห์ได้ โดยใช้เงื่อนไขและสภาวะในการสังเคราะห์เข่นเดียวกันกับ Pekala และคณะ (Al-Muhtaseb และคณะ (2003)) แต่งานวิจัยนี้ใช้วิธีการอบแห้งแบบเยือกแข็ง (Freeze drying) และ RF gel ที่ได้จากการอบแห้งนี้เรียกว่า Cryogel (ดังรูปที่ 2.1) ซึ่งในงานวิจัยนี้พบว่า สามารถควบคุมการเกิดโครงสร้างของรูปจนแบบเม็ด โดยการปรับเปลี่ยนอัตราส่วน

R/W และยังพบว่า RF gel ที่สั่งเคราะห์ได้จากการอบแห้งด้วยวิธีนี้ จะมีค่าพื้นที่ผิวสูง (Total surface area) ถึง 700 ตารางเมตรต่อกรัม แต่ยังมีค่าต่ำกว่าการอบแห้งภาวะเห็นอวิภูติ ข้อดีที่เด่นของวิธีนี้ คือใช้ต้นทุนน้อยในการสั่งเคราะห์ ในอีกทางหนึ่งได้ pragugan วิจัยที่ทำการศึกษาอิทธิพลของ อัตราส่วนโดยไม่ทราบ R/C ที่มีต่อลักษณะเฉพาะของโครงสร้างของ RF gel โดยพบว่า เมื่อค่า อัตราส่วน R/C สูงขึ้น จะทำให้พื้นที่ผิวและปริมาตรของรูปฐานสูงขึ้นรวมถึงได้โครงสร้างของ RF gel แบบเมโซ ทั้งนี้เนื่องจากในขณะที่อัตราส่วนของ R/C มีค่าสูงนั้น แสดงว่ามีสารตั้งต้นในปริมาณเมื่อ เปรียบเทียบกับปริมาณของตัวเร่งปฏิกิริยา ทำให้เกิดการรวมกลุ่มกันได้น้อยในช่วงแรก และอนุพันธ์ ของไฮดรอกซีเมธิลปริมาณมาก เมื่อเกิดการเข้ารวมตัวกันเป็นกลุ่มก้อนในระหว่างปฏิกิริยาการ ควบแน่น ทำให่อนุภาคที่เกิดขึ้นมีขนาดใหญ่ ปริมาตรของซ่องว่างระหว่างอนุภาคจึงมาก ซึ่งทำให้ โครงสร้างรูปฐานภายในเป็นแบบเมโซนั่นเอง (Li และคณะ (2008))

2.2.1 การอบแห้ง (Drying processing)

การอบแห้งเป็นขั้นตอนที่มีความสำคัญต่อการเตรียมวัสดุかる์บอนรูพูน กระบวนการอบแห้ง เป็นของ RF gel นั้นมีวัตถุประสงค์เพื่อทำให้น้ำหรือตัวทำละลายระเหยออกไป จึงเกิดเป็นรูปฐานในเนื้อ ของ RF gel ปรากฏขึ้น วิธีการอบแห้งนั้นมีหลายวิธี แต่ละวิธีทำให้ลักษณะของรูปฐานที่ได้แตกต่างกัน ไป ซึ่งวิธีการอบแห้งที่เป็นที่นิยมใช้ มีอยู่ทั้งหมด 3 วิธี ดังนี้

การอบแห้งด้วยลมร้อน (Subcritical Drying) เป็นการระเหยน้ำหรือตัวทำละลาย ที่อยู่ใน โครงสร้างของเจลด้วยลมร้อนที่ความดันบรรยายกาศ ซึ่ง RF gel ที่ได้จากการอบแห้งนี้ เรียกว่า "RF xerogel" จากรงานวิจัยที่ผ่านมา พบว่า การอบแห้งด้วยวิธีนี้ จะทำให้เกิดการหดตัวของเจลสูงมาก ในระหว่างกระบวนการทำให้หดตัวได้ความเป็นรูปฐานค่อนข้างต่ำ (Al-Muhtaseeb และคณะ (2003)) นอกจากนี้ยังพบว่าขนาดการหดตัวของ RF gel ขึ้นอยู่กับอัตราเร็วของลมร้อนและอุณหภูมิที่ใช้ในการ อบแห้ง โดยเจลจะมีการหดตัวมากเมื่อใช้อัตราเร็วของลมร้อนและอุณหภูมิในการอบแห้งที่มีค่าสูง



ในทางตรงกันข้ามถ้าอัตราเร็วของลมร้อนและอุณหภูมิที่ใช้ในการอบแห้งมีค่าต่ำ ก็ต้องใช้เวลาในการอบแห้งนานขึ้นด้วย

การอบแห้งด้วยสภาวะเหนืออิกุตติ (Supercritical Drying) เป็นการทำให้น้ำหรือตัวทำละลายที่อยู่ในโครงสร้างของ RF gel อยู่ในสภาวะเหนืออิกุตติหลังจากนั้นทำการปล่อยสารละลาย (ก๊าซคาร์บอนไดออกไซด์: CO₂) ที่มีค่าแรงตึงผิวที่ต่ำกว่าไปแทนที่ จนนั้นปล่อยอากาศออกที่สภาวะเหนืออิกุตติที่อัตราต่ำตามเข้าไปเพื่อกำจัดสารละลาย (ก๊าซคาร์บอนไดออกไซด์) ที่อยู่ในโครงสร้างของ RF gel ออกไป โดย RF gel ที่ได้จากการอบแห้งนี้เรียกว่า "RF aerogel" การอบแห้งนี้สามารถแก้ปัญหาเรื่องการลดตัวของ RF gel หลังจากการอบแห้ง RF aerogel มีพื้นที่ผิวและปริมาตรของมากถึง 1,400 ตารางเมตรต่อกรัมและ 1.4 ลูกบาศก์เมตรต่อกรัม ตามลำดับ (Moreno-Castilla และคณะ (2005)) แต่วิธีนี้ใช้ต้นทุนค่อนข้างสูง

การอบแห้งแบบเยือกแข็ง (Freeze drying) เป็นการอบแห้งโดยใช้น้ำยาที่มีอุณหภูมิต่ำกว่า 0°C ออกจากโครงสร้างภายใน RF gel โดยการทำให้น้ำหรือตัวทำละลายที่อยู่ภายในโครงสร้างของ RF gel เกิดการแข็งตัวที่อุณหภูมิเยือกแข็ง (Pre-Freezing) หลังจากนั้นทำการระเหิด (Sublimation) ตัวทำละลายออกมาระหว่าง RF gel ที่ได้จากการน้ำยาที่เรียกว่า "RF cryogel" การอบแห้งด้วยวิธีนี้สามารถแก้ปัญหาเรื่องการลดตัวของรูพรุนได้เช่นเดียวกับการอบแห้งด้วยสภาวะเหนืออิกุตติ หลังจากการอบแห้งพบว่า มีค่าพื้นที่ผิวของ RF cryogel ถึง 700 ตารางเมตรต่อกรัมและมีปริมาตรรูพรุนสูงถึง 1.2 ลูกบาศก์เซนติเมตรต่อกรัม (Yamamoto และคณะ (2001) และ Baric' และคณะ (2004)) อย่างไรก็ตามค่าพื้นที่ผิวและปริมาตรรูพรุนของ RF cryogel มีค่าน้อยกว่า RF aerogel

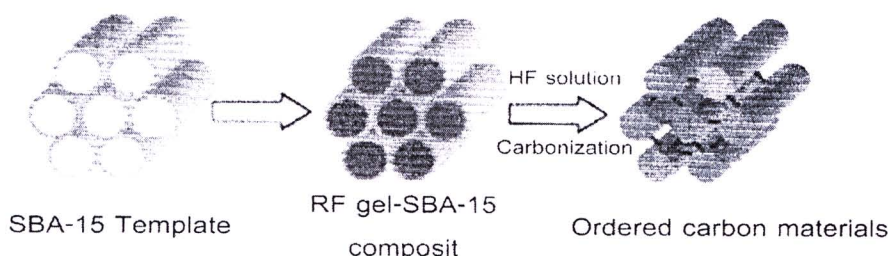
จากที่กล่าวมาข้างต้นจะเห็นได้ว่า งานวิจัยส่วนใหญ่ที่เกี่ยวข้องกับการสังเคราะห์วัสดุ คาร์บอนที่มีรูพรุน จาก RF gel ด้วยเทคนิคโซล-เจล จะเน้นศึกษาในขั้นตอนการอบแห้งของเจลและขั้นตอนในกระบวนการโซล-เจล โดยมีเป้าหมายสำคัญเพื่อให้ได้วัสดุคาร์บอนที่มีรูพรุนแบบเมโซ แต่ในส่วนของการควบคุมการกระจายตัวและรูปแบบการจัดเรียงตัวของรูพรุนที่เกิดขึ้นจากการโซล-เจลนั้นยังไม่มีการศึกษาอย่างจริงจังและทำได้ยาก ดังนั้นจึงเป็นเหตุให้มีนักวิจัยเริ่มน้นมาศึกษาเรื่อง

สำเนา		24 กค 2555
วันที่
เลขที่		247460
เลขที่ออกที่นี่ที่เดียว		

การควบคุมการกระจายตัวและรูปแบบการจัดเรียงตัวของรูพ魯น เมื่อใช้ RF gel เป็นวัสดุแหล่งกำเนิด carbон โดยหันมาการศึกษาการใช้แม่แบบ (Template) ทำหน้าที่เป็นตัวสร้างแบบจำลองโครงสร้าง (Structure directing agent)

2.3 แม่แบบ (Template) หรือ แบบจำลองโครงสร้าง (Structure directing agent)

การจำแนกแม่แบบ (Template) สามารถจำแนกได้ 2 แบบ ตามลักษณะการใช้งาน คือ แม่แบบชนิดฮาร์ด (Hard template) และ แม่แบบชนิดซอฟท์ (Soft template) จากงานวิจัยที่ผ่านมาพบว่าแม่แบบชนิดฮาร์ด ควบคุมการเกิดโครงสร้างของรูพ魯นที่เป็นระเบียบ ซึ่งนิยมใช้สังเคราะห์วัสดุ พอกซีโอลิต (Zeolites) เยื่ออัลูมินา (Alumina membranes) ซิลิกา (Silica) ใน SBA-15 (Ordered Siliceous $P6mm$) และ KIT-6 (Ordered Siliceous $Ia3d$) (Jurewicz และคณะ (2004), Gierszal และคณะ (2005) และ Tang และคณะ (2008)) แต่ข้อเสียของตัวแม่แบบชนิดฮาร์ดคือ ต้องใช้ความประณีตและความละเอียดอ่อนค่อนข้างสูงในการเตรียม ทำให้ต้องใช้เวลาค่อนข้างมาก ในปัจจุบันการสังเคราะห์วัสดุคาร์บอนรูพ魯นด้วยวิธีนี้ สามารถทำได้โดยการนำ RF gel เติมลงแม่แบบชนิดฮาร์ดจนเต็ม กระบวนการนี้เรียกว่าการพิมพ์ตัวแม่แบบ (Imprinting) จากนั้นทำการกำจัดแม่แบบด้วยกรดไฮdrofluoric acid (Hydrofluoric acid: HF acid) RF gel ที่สังเคราะห์ได้นั้นจะมีรูพ魯นเกิดขึ้น หลังจากนั้นนำ RF gel ที่สังเคราะห์ได้นั้นไปเผาให้เป็นคาร์บอน (Carbonization) วัสดุคาร์บอนรูพ魯นที่ได้จากการนี้ จะมีการกระจายตัวและขนาดของรูพ魯นสม่ำเสมอ ทำให้มีการจัดเรียงตัวของรูพ魯นและโครงสร้างเป็นระเบียบ (แสดงตั้งรูปที่ 2.4) วัสดุคาร์บอนรูพ魯นแบบเมโซที่ได้จากวิธีนี้มีค่าพื้นที่ผิวมากกว่า 900 ตารางเมตรต่อกรัม และปริมาตรรูพ魯นสูงถึง 1.2 ลูกบาศก์เมตรต่อกรัม กระบวนการนี้มีข้อเสีย นั่นคือคือค่อนข้างยุ่งยาก ใช้เวลานาน และต้นทุนค่อนข้างสูง



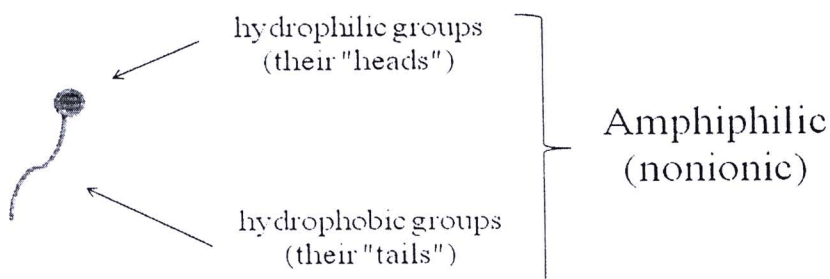
รูปที่ 2.4 กระบวนการสังเคราะห์วัสดุคาร์บอนรูปрутโดย SBA-15 (แม่แบบชนิดอาร์ด)

จากข้อเสียที่กล่าวมาข้างต้นทำให้นักวิจัยส่วนใหญ่ได้หันมาสนใจแนวทางใหม่ที่สามารถหลีกเลี่ยงการใช้แม่แบบชนิดอาร์ด เพื่อลดขั้นตอนและต้นทุนในการสังเคราะห์ โดยการใช้แม่แบบชนิดซอฟท์ ออย่างเช่น สารลดแรงตึงผิว (Surfactant) เนื่องจาก แม่แบบชนิดซอฟท์ สามารถเกิดการจัดเรียงไม่เลกุลหน่วยอยู่ของตัวมันอย่างเป็นระเบียบด้วยตนเอง (Self-assembly) กล่าวคือ ไม่เลกุล มีจัดเรียงตัวเป็นแม่แบบได้ด้วยตัวมันเอง ก่อให้เกิดโครงสร้างที่นำไปสู่การเกิดโครงสร้างที่มีรูปрутแบบเมโซและมีการจัดเรียงตัวกันอย่างเป็นระเบียบเข้มเดียวกับการใช้แม่แบบชนิดอาร์ด ทำให้ขั้นตอนในการสังเคราะห์วัสดุคาร์บอนรูปрутไม่ยุ่งยากและง่าย เมื่อเปรียบเทียบกับการใช้แม่แบบชนิดอาร์ด โดยสารลดแรงตึงผิวประเภทแอมฟิพิลิก (Amphiphilic) ซึ่งเป็นสารลดแรงตึงผิวไร้ประจุ (Nonionic surfactants) อันได้แก่กลุ่ม Polaxamer ได้เข้ามาบทบาทอย่างมาก เนื่องมาจากข้อดีของสารลดแรงตึงผิวกลุ่มนี้ ที่มีคุณสมบัติไม่เป็นพิษและสามารถใช้ได้กับค่าความเป็นกรด-ด่างในช่วงที่กว้าง นอกจากนี้สารลดแรงตึงผิวกลุ่มนี้สามารถกำจัดออกจากการแผลงกำเนิดคาร์บอนได้ง่าย จากที่กล่าวข้างต้นกล่าวทำให้สารลดแรงตึงผิวนี้นิยมนำมาใช้ในการสังเคราะห์วัสดุใหม่ๆ ในอุตสาหกรรมทางด้าน nano-เทคโนโลยีอย่างวัสดุคาร์บอนที่มีรูปрут

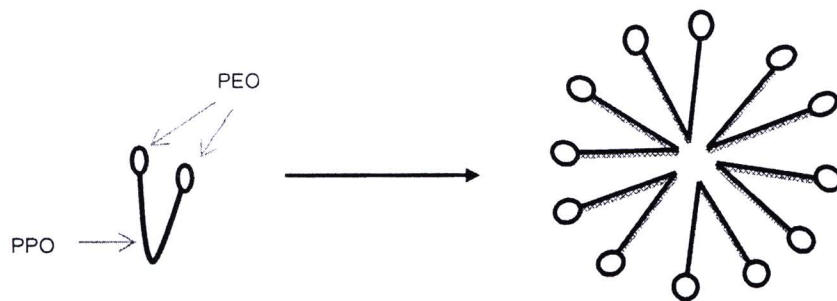


2.3.1 กระบวนการจัดระเบียบหรือสร้างโครงสร้างได้ด้วยตนเอง (Self-assembly) (Brinker และ คณะ (1999))

กระบวนการจัดระเบียบหรือสร้างโครงสร้างได้ด้วยตนเอง คือ การจัดเรียงองค์ประกอบที่สามารถเกิดขึ้นได้เองและเป็นไปตามธรรมชาติของวัสดุนั้น ซึ่งจะเชื่อมต่อและเกาะกันด้วยแรง โนน-โค วาเลนท์ (Noncovalent interactions) เช่น พันธะไฮโดรเจน (Hydrogen bonding) แรงวนเดอร์วัลส์ (Van der Waals' force) และไฟฟ้าสถิต (Electrostatic force) เป็นต้น รวมไปถึงจะใช้สำหรับการ อธิบายหรือกล่าวถึง การมาประกอบหรือรวมตัวกัน (Assemble) ของโมเลกุลที่มีโครงสร้างขั้นตอน (Supramolecules) ซึ่งโดยทั่วไปแล้ว คือ โมเลกุลของสารลดแรงตึงผิวประเภทแอมฟิพิลิก (Amphiphilic surfactant molecules) หรือ พอลิเมอร์ (Polymers) ที่ประกอบด้วย ส่วนที่ชอบน้ำ (Hydrophilic part) เนื่องจากมีคุณสมบัติที่มีข้า และ ส่วนที่ไม่ชอบน้ำ (Hydrophobic part) เนื่องจาก มีคุณสมบัติที่ไม่มีข้า ดังรูป 2.5

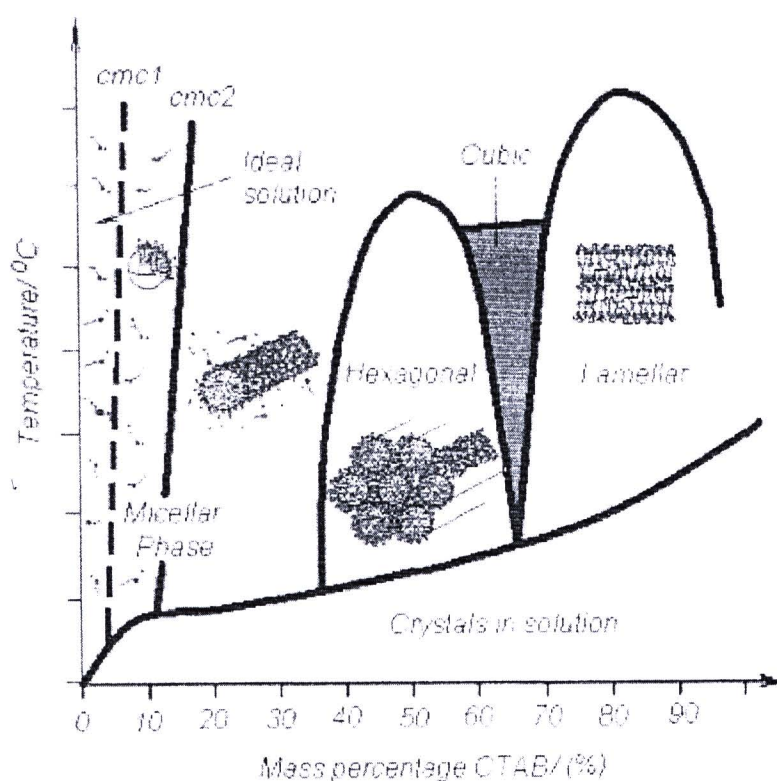


รูปที่ 2.5 แบบจำลองลักษณะโครงสร้างของสารลดแรงตึงผิวประเภท Amphiphilic ในสารละลายน้ำ เป็นตัวทำละลาย (Aqueous solution) เมื่อความเข้มข้นของสารลดแรงตึงผิว ในขณะนั้นมีค่าเหนื่อยกว่าความเข้มข้นวิกฤติการเกิดไมเซลล์ (Critical Micelle Concentration: CMC) สารลดแรงตึงผิวจะประกอบกันขึ้นกลายเป็นโครงสร้างไมเซลล์ (Micelles) ทรงกลม (Spherical) หรือ ทรงกระบอก (Cylindrical) (แสดงดังรูป 2.6)



รูปที่ 2.6 รูปแบบเบื้องต้นของสารกลุ่ม Pluronic[®] (PEO-PPO-PEO) ในรูปแบบไมเซลล์

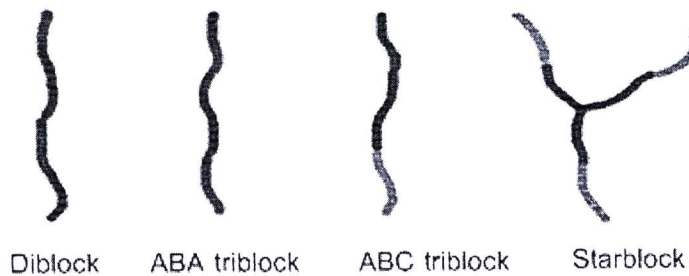
โดยส่วนที่ขอบน้ำสัมผัสกับน้ำ (ส่วนที่ขอบน้ำเป็นส่วนที่สามารถเข้าได้ดีกับน้ำหรือกลุ่มของสารละลายที่มีชื่อ อาจเป็นคาร์บอไฮเดรต (Carbohydrate) กรดคาร์บอชิลิก (Carboxylic acid) ฟอสเฟต (Phosphate) ไซโคลเพปไทด์ (Cyclic peptide) และแอลกอฮอล์ (Alcohol) เป็นต้น ในขณะที่ส่วนที่ไม่ขอบน้ำจะเรียกว่าเป็นแกนกลางอยู่ภายในไมเซลล์ (ส่วนที่ไม่ขอบน้ำเป็นส่วนที่สามารถเข้าได้ดีกับตัวทำละลายอินทรีย์หรือกลุ่มของสารละลายที่ไม่มีชื่อ เช่น กลุ่มของสารประกอบไฮdrocarbon ที่ต่อ กันเป็นโซ่ (Hydrocarbon chain) กรดไขมันไม่อิมตัว (Unsaturated fatty acid) และกรดไขมันอิมตัว (Saturated fatty acid)) อย่างไรก็ตามถ้าเพิ่มความเข้มข้นของสารลดแรงตึงผิวเหนือกว่าค่า CMC โครงสร้างของไมเซลล์ (Micelles) จะเกิดรูปแบบโครงสร้างที่แตกต่างกันไป ซึ่งขึ้นอยู่กับความเข้มข้นเหนือกว่าค่า CMC ณ ขณะนั้น สามารถอธิบายกลไกที่เกิดขึ้นแสดงดังรูปที่ 2.7 เป็นแผนภาพรูปแบบโครงสร้างไมเซลล์ที่ความเข้มข้นต่างกันของ Cetyl Trimethyl Ammonium Bromide (CTAB) ซึ่งค่า CMC ถือเป็นคุณสมบัติเฉพาะตัวของสารลดแรงตึงผิวแต่ละชนิดด้วย



รูปที่ 2.7 แผนภาพแบบโครงสร้างไมโครเคลล์ที่ความเข้มข้นต่างกัน ของ Cetyl Trimethyl Ammonium Bromide (CTAB) (Brinker และคณะ (1999))

2.3.2 สารลดแรงตึงผิว Poloxamer (Poloxamer surfactant)

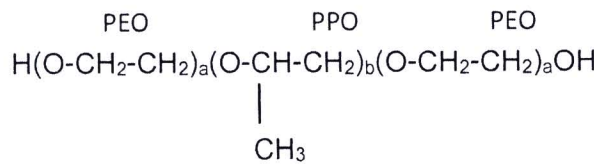
Poloxamer เป็นพอลิเมอร์ที่ประกอบด้วยหน่วยเล็กๆ ของมอนโอมอร์ต่างชนิดกันอย่างน้อยสองชนิดที่เรียกว่า โคพอลิเมอร์ (Copolymer) ที่มีการจัดเรียงตัวโคพอลิเมอร์แบบบล็อก (Block copolymer) ซึ่งจำแนกออกเป็น 4 แบบ ตามลักษณะการจัดเรียงตัว คือ การจัดเรียงตัวแบบสองบล็อกสำหรับสององค์ประกอบ (DiBlock) การจัดเรียงตัวแบบสามบล็อกสำหรับสององค์ประกอบ (ABA triblock) การจัดเรียงตัวแบบสามบล็อกสามองค์ประกอบ (ABC triblock) และ การจัดเรียงตัวบล็อกแบบดาวสำหรับสององค์ประกอบ (Star block) แสดงดังรูปที่ 2.8 โดย Poloxamer มีการจัดเรียงตัวแบบสามบล็อกสามองค์ประกอบ (ABC triblock)



รูปที่ 2.8 ลักษณะการจัดเรียงตัวโคพอลิเมอร์แบบบล็อก (Block copolymer)

Poloxamer เป็นสารลดแรงตึงผิว ประเภทแอมพิพิลิก กล่าวคือ เป็นสารลดแรงตึงผิวไร้ประจุมีลักษณะการจัดเรียงตัวแบบ Triblock-copolymer โดยมีโซนของโพลีออกซิโพร์พิลีน (Polyoxypropylene: Poly (propylene oxide): PPO) ที่เป็นส่วนที่ไม่ชอบน้ำอยู่ตรงแกนกลางและเชื่อมต่อกับโซนของโพลีออกซิเอทธิลีน (Polyoxyethylene: Poly (ethylene oxide): PEO) ที่เป็นส่วนที่ชอบน้ำขนาดข้างทั้งสองด้าน โดย Poloxamer ที่มีการจัดเรียงตัวเช่นนี้มีชื่อทางการค้า คือ Pluronic[®] โดยโครงสร้างแสดงดังรูปด้านล่างและ Pluronic[®] ที่นิยมนำมาใช้สังเคราะห์สุดかる์บอนรูพูนที่มีการจัดเรียงตัวของรูพูนอย่างเป็นระเบียบ (Ordered Mesoporous Carbon materials: OMCs) คือ Pluronic[®] P123 มีสูตรโครงสร้าง คือ $\text{PEO}_{26}\text{PPO}_{40}\text{PEO}_{26}$ โดยมีมวลโมเลกุลเท่ากับ 4,600 และ

Pluronic[®] F127 มีสูตรโครงสร้าง คือ $\text{PEO}_{100}\text{PPO}_{46}\text{PEO}_{100}$ โดยมีมวลโมเลกุลเท่ากับ 12,600 (Kabanov และคณะ (2002)) ซึ่ง Pluronic[®] F127 มีค่า CMC แสดงตามตารางที่ 2.1



ตารางที่ 2.1 ค่าความเข้มข้นวิกฤติการเกิดไมเซลล์ของ Pluronic[®] F127 ที่อุณหภูมิต่างๆ (Kunjara na ayudhya และคณะ (2007))

อุณหภูมิ (องศาเซลเซียส)	ค่าความเข้มข้นวิกฤติการเกิดไมเซลล์	
	ร้อยละน้ำหนักต่อปริมาตร (% w/v)	มิลลิโมลาร์ (mM)
30	0.1000	0.079
35	0.0025	0.019
40	0.0008	0.006

ปัจจุบันการสังเคราะห์วัสดุคาร์บอนรูพูนที่มีการจัดเรียงตัวของรูพูนอย่างเป็นระเบียบสามารถสังเคราะห์ได้จากการเกิดปฏิกิริยาระหว่างสารอินทรีย์-สารอินทรีย์ (organic-organic compound) อย่างเช่น เทอร์โมเซ็ตติ้งโพลิเมอร์ (Thermosetting polymer) กับสารลดแรงตึงผิว จากงานวิจัยของ Tanaka และคณะ (2005) ได้ศึกษาการสังเคราะห์ OMCs ฟิล์ม (Film) จาก RF gel (แหล่งกำเนิดคาร์บอน) และไตรเอทิล ออโธอะซีเตท (Triethyl orthoacetate: EOA) เป็นแหล่งกำเนิด คาร์บอนร่วม และ Pluronic F127 ทำหน้าที่เป็นตัวสร้างแบบจำลองโครงสร้าง วัสดุคาร์บอนรูพูนที่ สังเคราะห์ได้ เรียกว่า COU-1 (Ordered channel structure) โดยพบว่า การเลือกสารตั้งต้นและสาร ลดแรงตึงผิวที่เหมาะสม เป็นปัจจัยสำคัญในการควบคุมการสังเคราะห์ OMCs และเกิดโครงสร้างแบบ เมโซที่เป็นระเบียบ อย่างไรก็ตาม COU-1 ที่สังเคราะห์ได้มีค่าพื้นที่ผิวมากถึง 1,350 ตารางเมตรต่อ

กรัม และปริมาตรรูปrun สูงถึง 0.74 ลูกบาศก์เมตรต่อกรัม (เพาให้กล้ายเป็นคาร์บอนที่ 800 องศาเซลเซียส) โดยกลไกหลักที่ทำให้เกิดโครงสร้างรูปrun ในคาร์บอน นั่นคือ Pluronic F127 เกิดเป็นโครงสร้างไมเมเซลล์ เมื่อความเข้มข้น ณ ขณะนั้นเหนือกว่า CMC ในขณะเดียวกันที่รีไซซินอลเกิดปฏิกิริยาการเติมกับฟอร์มอลดีไฮด์ เกิดเป็นอนุพันธ์ของไฮดรอกาเมทัล ซึ่งอนุพันธ์ของไฮดรอกาเมทัล มีความว่องไวต่อปฏิกิริยา กับ Pluronic F127 ด้วยพันธะไฮโดรเจน (Hydrogen bond) ขั้นตอนนี้ส่งผลให้ RF gel เชื่อมต่อกันแบบร่างแห้งกับโครงสร้างของ Pluronic F127 (กล้ายเป็นโครงสร้างไมเมเซลล์) ซึ่ง Pluronic F127 จะถูกกำจัดในระหว่างกระบวนการและเพาให้เป็นคาร์บอน จากขั้นตอนดังกล่าวจะได้รับสุดคาร์บอนรูปrun แบบเมโซที่มีการจัดเรียงโครงสร้างของรูปrun อย่างเป็นระเบียบ เมื่อ RF gel ที่สังเคราะห์ได้ไปวิเคราะห์ด้วยวิธี Thermo gravimetric analysis (TGA) พบว่า Pluronic F127 จะถูกกำจัดออกที่อุณหภูมิ 300 – 400 องศาเซลเซียส (Meng และคณะ (2006)) ภายใต้สภาวะก๊าซเชื้อย (Inert gas) ในช่วงนี้โครงสร้างของรูปrun เริ่มปรากฏขึ้น การที่ Pluronic F127 สามารถกำจัดได้ที่อุณหภูมิต่ำ เนื่องจากมีองค์ประกอบที่เป็นออกซิเจน (O_2) และไฮโดรเจน (H_2) ซึ่งทำให้มีความเสถียรทางความร้อนต่ำ (low thermal stability) โดยสามารถแบ่งขั้นตอนการเผาเป็น 2 ช่วง คือช่วงอุณหภูมิ 400 – 600 องศาเซลเซียส จะเกิดการลดตัวของโครงสร้างรูปrun เล็กน้อย เนื่องจากแม่แบบถูกกำจัดออกไป และโครงสร้างของรูปrun เริ่มมีเสถียรภาพทางความร้อนสูง และช่วงอุณหภูมิ 800 – 1200 องศาเซลเซียส เป็นช่วงที่ RF gel กล้ายเป็นวัสดุคาร์บอนรูปrun ที่มีมีเสถียรภาพทางความร้อนสูง (สามารถเผาที่อุณหภูมิสูงได้ถึง 1,200 องศาเซลเซียส ก่อนจะกล้ายเป็นวัสดุกราไฟต์)

อย่างไรก็ตามตั้งแต่ความสำเร็จในการสังเคราะห์ฟิล์ม COU-1 ของ Tanaka และคณะ (2005) จนนาโนคอมโพสิตของ RF gel/EOA (Organic-organic nanocomposite) ด้วยแม่แบบ Pluronic F127 ทำให้นักวิจัยสนใจศึกษาการใช้สารกู้ล้ม Pluronic[®] มาจาก Meng และคณะ (2006) ซึ่งสามารถสังเคราะห์ OMCs ที่เรียกว่า "C-FDU-15 และ C-FDU-16" ที่มีโครงสร้างเป็นหกเหลี่ยม ($\rho 6m$) และ ลูกบาศก์($m3m$) ตามลำดับ โดยใช้ พินอล/ฟอร์มอลดีไฮด์เป็นแหล่งกำเนิดคาร์บอน และ Pluronic F127 และ Pluronic P123 เป็นแม่แบบ ด้วยเหตุนี้ Jin และคณะ (2009) จึงสังเคราะห์



OMCs กระบวนการจัดระเบียบโครงสร้างได้ด้วยตนเอง (Self-assembly) ของสารอินทรีย์ - สารอินทรีย์ (Organic - Organic) โดยมี RF gel เป็นแหล่งกำเนิดการ์บอน Pluronic F127 และ Pluronic P123 ทำหน้าที่เป็นแม่แบบ โดยศึกษาเกี่ยวกับอิทธิพลขององค์ประกอบของแม่แบบที่แตกต่างกันต่อการเกิดโครงสร้างรูปrunenแบบเมโซและขนาดของรูปrunenที่ได้ จากการวิจัยพบว่าอัตราส่วนโดยไม่ทราบว่า Pluronic F127ต่อวิชินอลอยู่ในช่วง 0.0027(ตัวอย่างที่สังเคราะห์ได้ เรียกว่า RF-F127(1)) ถึง 0.0054 (ตัวอย่างที่สังเคราะห์ได้ เรียกว่า RF-F127(2)) วัสดุการ์บอนรูปrunenที่สังเคราะห์ได้มีรูปrunenแบบเมโซและมีการจัดเรียงตัวอย่างเป็นระเบียบพร้อมทั้งมีรูปแบบโครงสร้างทรงหกเหลี่ยม (Hexagonal) คล้ายกับ COU-1 ของ Tanaka และ คณะ (2005) แต่ต่างกันที่ COU-1 ที่สังเคราะห์ได้ในงานวิจัยนี้มีลักษณะเป็นก้อน (Bulk) เมื่อทำการศึกษาถึงค่าความเดียรทางความร้อนพบว่า COU-1 ชนิดก้อนมีความเดียรทางความร้อนสูงกว่า COU-1ชนิดฟิล์ม จากตารางที่ 2.2 เห็นว่าขนาดเส้นผ่านศูนย์กลางของรูปrunenของ RF-F127(2) มีขนาดที่ใหญ่กว่า RF-F127(1) ผลที่เกิดขึ้นแสดงถึงความสามารถควบคุมขนาดเส้นผ่านศูนย์กลางของรูปrunenของ COU-1 จากการปรับเปลี่ยนค่าอัตราส่วนโดยไม่ทราบว่า F127/R เนื่องจากใช้พอลิเมอร์ RF (RF polymer chain) ทำปฏิกิริยา กับส่วนที่ขอบน้ำของ Pluronic F127 ด้วยพันธะไฮโดรเจน (Hydrogen bond) โดยการที่อัตราส่วนโดยไม่ทราบว่า F127/R มีค่าเพิ่มขึ้น ส่งผลให้ปฏิกิริยาระหว่างใช้พอลิเมอร์กับ Pluronic F127 เพิ่มขึ้น ด้วย แต่ที่อัตราส่วนโดยไม่ทราบว่า F127/R เพิ่มสูงถึง 0.0081 และ 0.0108 วัสดุการ์บอนรูปrunenที่สังเคราะห์ได้มีรูปrunenแบบเมโซและมีการจัดเรียงตัวอย่างเป็นระเบียบแต่มีโครงสร้างที่แตกต่างออกไปคือเกิดโครงสร้างคล้ายตัวหนอน (Worm-like) ที่มีชื่อเรียกว่า COU-2 (ตัวอย่างที่สังเคราะห์ได้ เรียกว่า RF-F127(3)) และเมื่ออัตราส่วนโดยไม่ทราบว่า F127/R สูงเกินกว่า 0.0108 พบว่าวัสดุการ์บอนรูปrunenที่สังเคราะห์ได้เกิดการเรียงตัวของรูปrunenที่ไม่เป็นระเบียบ (Non ordered mesoporous structure) ในส่วนของการใช้ Pluronic P123 เป็นแม่แบบ พบว่าวัสดุการ์บอนรูปrunenที่สังเคราะห์ได้มีรูปrunenแบบเมโซและมีการจัดเรียงตัวอย่างเป็นระเบียบ เกิดโครงสร้างคล้ายตัวหนอน (COU-2) ของ RF-F127(3) แต่มีขนาดเส้นผ่านศูนย์กลางของรูปrunenเล็กกว่า RF-F127(3) เนื่องจากความยาวของใช้พอลิเมอร์ (Polymer chain) ของ Pluronic P123 สั้นกว่า Pluronic F127

ตารางที่ 2.2 คุณสมบัติเฉพาะของรูปฐานและโครงสร้างของวัสดุคาร์บอนที่สังเคราะห์ได้ (Jin และคณะ (2009))

ตัวอย่าง	พื้นที่ผิว (ตารางเมตรต่อกรัม)	ขนาดเส้นผ่าน ศูนย์กลางของรูป ฐาน (นาโนเมตร)	ปริมาตรรูปฐาน (ลูกบาศก์เมตรต่อ กรัม)	โครงสร้าง
RF-F127(1)	652	0.43	4.7	ทรงหกเหลี่ยม (Hexagonal: COU-1)
RF-F127(2)	651	0.49	5.8	ทรงหกเหลี่ยม (Hexagonal: COU-1)
RF-F127(3)	716	0.61	4.8	คล้ายตัวหนอน (Worm-like: COU-2)
RF-F127/ P123	611	0.58	6.8	ทรงหกเหลี่ยม (Hexagonal: COU-1)
RF-P123	708	0.51	4.4	คล้ายตัวหนอน (Worm-like: COU-2)

อย่างไรก็ตาม ขนาดเส้นผ่านศูนย์กลางของรูปฐาน ของ COU-1 มีขนาดที่เพิ่มขึ้นโดยการเพิ่มอัตราส่วนโดยไม่ระบุว่า F127/R แต่ถ้ามีค่าสูงเกินไปรูปแบบโครงสร้างของรูปฐานจะเปลี่ยนเป็น COU-2 ซึ่งเป็นวิธีที่ง่ายในการควบคุมโครงสร้างรูปฐานแบบเมโซรวมไปถึงการควบคุมขนาดเส้นผ่านศูนย์กลางของรูปฐานด้วย นอกจากนี้การใช้แม่แบบชนิดผสมระหว่าง Pluronic F127 และ Pluronic P123 โดยที่อัตราส่วนโดยไม่ระบุว่า Pluronic F127 ต่อ Pluronic P123 เท่ากับ 0.5 พบว่าวัสดุคาร์บอนรูปฐานที่สังเคราะห์ได้มีรูปฐานแบบเมโซและมีการจัดเรียงตัวอย่างเป็นระเบียบและเกิดโครงสร้าง COU-1 พร้อมทั้งขนาดเส้นผ่านศูนย์กลางของรูปฐานที่เพิ่มขึ้นถึง 6.8 นาโนเมตร ผลข้างต้นบ่งบอกได้ว่าการใช้แม่แบบผสมสามารถเพิ่มขนาดเส้นผ่านศูนย์กลางของรูปฐานและวัสดุคาร์บอนรูปฐานที่สังเคราะห์ได้ยังคงเป็นรูปฐานแบบเมโซและมีการจัดเรียงตัวอย่างเป็นระเบียบ

2.4 การเตรียมตัวเร่งปฏิกิริยาโลหะทรายซิชั่นบนตัวรองรับวัสดุรูปrunicarbon (Preparation of transition metal doped porous carbon materials)

การเตรียมตัวเร่งปฏิกิริยาโลหะทรายซิชั่นบนตัวรองรับวัสดุรูปrunicarbon ทำได้ด้วยกันหลายวิธี แต่สำหรับวิธีที่เป็นที่นิยมกันอย่างแพร่หลาย คือ การเคลือบผึ้ง (Impregnation) เนื่องจาก เป็นวิธีที่ง่าย กล่าวคือ ตัวรองรับจะถูกแช่ลงไปในสารละลายที่มีตัวเร่งปฏิกิริยาละลายอยู่ หรือ การที่สารละลายตัวเร่งปฏิกิริยาถูกหยดลงไปบนตัวรองรับ จากนั้นทำการระเหยตัวทำละลายออกจนหมด เพื่อให้ตัวเร่งปฏิกิริยาอยู่บนตัวรองรับ ซึ่งสามารถควบคุมตำแหน่งของตัวเร่งปฏิกิริยา ให้อยู่เพียงแค่พิภากยน์อกหรือเพรี้ยวไปถึงภายในโครงสร้างได้ Vengatesan และคณะ (2008) ได้ศึกษาการเพิ่มการกระจายตัวของตัวเร่งปฏิกิริยาแพลทินัมบนตัวรองรับวัสดุcarbonรูปruninแบบเมโซ่ ด้วยการเคลือบผึ้ง (Impregnation) พบร่วมกันว่า การกระจายตัวของตัวเร่งปฏิกิริยาแพลทินัมบนตัวรองรับวัสดุcarbonรูปrunin เกิดการกระจายตัวอย่างสม่ำเสมอ แต่เมื่อทำการเพิ่มความเข้มข้นของตัวเร่งปฏิกิริยาโลหะทรายซิชั่นมีค่าสูงขึ้น จะทำให้ค่าพื้นที่ผิวและปริมาตรของรูปruninมีค่าน้อยลง กล่าวคือ พื้นที่ผิวและปริมาตรของรูปruninของวัสดุcarbonรูปruninที่ยังไม่เติมตัวเร่งปฏิกิริยา แพลทินัมพบว่ามีค่าเท่ากับ 838 ตารางเมตรต่อกรัม และ 0.785 ลูกบาศก์เซนติเมตรต่อกรัม เมื่อทำการเติมตัวเร่งปฏิกิริยา แพลทินัมพบว่าพื้นที่ผิวของวัสดุcarbonที่รองรับแพลทินัม มีค่า 87 ถึง 280 ตารางเมตรต่อกรัม และ ปริมาตรรูปruninมีค่า 0.138 ถึง 0.400 ลูกบาศก์เซนติเมตรต่อกรัม นอกจากนี้พบว่าตัวเร่งปฏิกิริยา แพลทินัมมีขนาดใหญ่ขึ้น เมื่อความเข้มข้นของโลหะแพลทินัมมากขึ้น (โดยเดิมปริมาณตัวเร่งปฏิกิริยาแพลทินัมร้อยละ 20 ถึง 40 โดยน้ำหนัก) เนื่องมาจากการรวมตัวในระหว่างปฏิกิริยา ควบแน่นและปริมาณของตัวเร่งปฏิกิริยาโลหะทรายซิชั่นมีผลต่อคุณสมบัติของรูปruninที่ปรากฏ

Huwe และคณะ (2003) สามารถสังเคราะห์อนุภาคเหล็ก(III)ออกไซด์บนตัวรองรับวัสดุcarbonรูปruninแบบเมโซ่ ซึ่งยังคงให้คุณสมบัติของรูปruninที่ดี ซึ่งทำการทดลอง ใช้การเคลือบผึ้ง (Impregnation) ต่อการอบแห้ง (Drying) 4 ครั้ง เพื่อเพิ่มพื้นที่ผิวการเคลือบ (Coating) ปริมาณของโลหะทรายซิชั่นที่เติมลงไป และรักษาคุณสมบัติรูปrunin โดยสังเคราะห์ตัวรองรับวัสดุcarbonรูปruninแบบเมโซ่จากซิลิกา ชนิด MCM-48 (Mesoporous MCM-48 silica) โดยจะได้ carbонที่มีรูปrunin ชนิด

CMK-1 จากนั้นทำการเติมตัวเร่งปฏิกิริยาเหล็ก (III) ที่อยู่ในรูปของ เหล็ก ไนเตรต (Iron nitrate) ด้วยกระบวนการการเคลือบผึ้ง (Impregnation)/การอบแห้ง (Drying) 4 ครั้ง พบร่วง ตัวรองรับวัสดุคาร์บอน รูพูนแบบเมโซ่ ที่ยังไม่เติมตัวเร่งปฏิกิริยาเหล็ก (III) มีขนาดเส้นผ่านศูนย์กลาง พื้นที่ผิว และปริมาตร ของรูพูน เท่ากับ 3 นาโนเมตร 1,403 ตารางเมตรต่อกรัม และ 0.74 ลูกบาศก์เมตรต่อกรัมตามลำดับ สมบัติของรูพูนที่ได้ เมื่อเติมตัวเร่งปฏิกิริยาเหล็ก (III) แสดงในตารางที่ 2. พบร่วงจำนวนครั้งของการเคลือบผึ้งตัวเร่งปฏิกิริยาเหล็ก (III) มีผลต่อขนาดเส้นผ่านศูนย์กลางของรูพูน โดยมีขนาดเส้นผ่านศูนย์กลางของรูพูนเฉลี่ยประมาณ 3 นาโนเมตร จนกระทั่งทำการเคลือบผึ้งตัวเร่งปฏิกิริยาเหล็ก (III) ลงบนตัวรองรับ CMK-1 ครั้งที่ 3 จะเห็นว่า พื้นที่ผิวมีการลดลงอย่างชัดเจน และลดลงมากเมื่อเคลือบผึ้งตัวเร่งปฏิกิริยาเหล็ก (III) ครั้งที่ 4 ซึ่งมีพื้นที่ผิว และปริมาตรของรูพูน คือ 220 ตารางเมตรต่อกรัม และ 0.30 ลูกบาศก์เมตรต่อกรัมตามลำดับ อีกทั้งยังสูญเสียความเป็นวัสดุคาร์บอนรูพูนแบบเมโซ่ เนื่องจาก ขนาดเส้นผ่านศูนย์กลางของรูพูนน้อยกว่า 1 นาโนเมตร ซึ่งมีสาเหตุมาจากการปริมาณของอนุภาคตัวเร่งปฏิกิริยาเหล็ก (III) อยู่ภายในโครงสร้างหรือภายในรูพูนเป็นจำนวนมาก ဆัณทำให้ขนาดของรูพูนและเส้นผ่านของรูพูนลดลง อย่างไรก็ตาม เมื่อเปรียบเทียบกับงานวิจัยของ Vengatesan และคณะ (2008) พบร่วงงานวิจัยของ Huwe และคณะ (2003) สามารถยังคงอยู่ของคุณสมบัติของรูพูนและเพิ่มพื้นที่การปักคลุม (Coating) นอกจากนี้ยังช่วยให้โลหะทรานซิชันกระหายตัวได้ดี

ตารางที่ 2.3 สมบัติรูปนูนของวัสดุкар์บอนรูปนูน (CMK-1) ที่ไม่เติมตัวเร่งปฏิกิริยาเหล็ก (III) และวัสดุ คาร์บอนรูปนูน ชนิด CMK-1 ที่มีตัวเร่งปฏิกิริยาเหล็ก (III)

ตัวอย่าง	พื้นที่ผิว (ตารางเมตรต่อกรัม)	ขนาดเส้นผ่าน ศูนย์กลางของรูปนูน (นาโนเมตร)	ปริมาตรรูปนูน (ลูกบาศก์เมตรต่อกรัม)
CMK-1	1,403	3.11	0.74
CMK-1ที่มีตัวเร่งปฏิกิริยาเหล็ก (III) :เคลือบผิว 1 ครั้ง	1,210	3.10	0.60
CMK-1ที่มีตัวเร่งปฏิกิริยาเหล็ก (III) :เคลือบผิว 2 ครั้ง	1,005	3.06	0.46
CMK-1ที่มีตัวเร่งปฏิกิริยาเหล็ก (III) :เคลือบผิว 3 ครั้ง	634	3.02	0.35
CMK-1ที่มีตัวเร่งปฏิกิริยาเหล็ก (III) :เคลือบผิว 4 ครั้ง	220	น้อยกว่า 1	0.30

จากข้างต้นพบว่าการเตรียมตัวเร่งปฏิกิริยาโลหะทรานซิชันบนตัวรองรับวัสดุรูปนูนคาร์บอน ด้วยการเคลือบผิว (Impregnation) เป็นวิธีที่ง่าย สามารถควบคุมตำแหน่งของตัวเร่งปฏิกิริยานวัสดุ รองรับได้จริงและรักษาสมบัติรูปนูนได้ แต่ควบคุมการกระจายตัวของโลหะทรานซิชันบนวัสดุรองรับได้ ยากทั้งยังต้องการขั้นตอนที่พิเศษ สำหรับการเตรียมวัสดุรองรับคาร์บอน ส่งผลให้ใช้เวลานาน ขั้นตอน ค่อนข้างยุ่งยากและตันทุนสูง



ต่อมา Moreno-Castilla และ คณะ (2003) ได้เตรียมตัวเร่งปฏิกิริยาโลหะทราบซีชัน (เหล็ก (Fe) โคบอล (Co) นิกเกิล (Ni) และทองแดง (Cu)) บนวัสดุรองรับคาร์บอน Aerogel โดยการเติมเกลือโลหะกลุ่มอะซิเทต เนื่องจากละลายน้ำและตัวทำละลายอินทรีย์ได้ดี โดยตรงผ่านกระบวนการโซล-เจล อัตราส่วนโดยไม่ระหว่าง R/F และ R/W เท่ากับ 0.5 และ 0.13 ตามลำดับ พบราก รูปแบบโครงสร้าง และสมบัติของรูพ魯นขึ้นอยู่กับชนิดของเกลือโลหะที่เติม เนื่องจากเกลือโลหะแต่ละชนิดมีผลต่อกระบวนการเกิดโพลิเมอร์ (polymerization process) ต่างกันและมีผลกระทบต่อคุณลักษณะ Aerogel โดยตรง ซึ่งความเป็นกรด-ด่างที่สภาวะเริ่มต้นของนิกเกิลและโคบอลเร็วกว่า ส่งผลให้อนุภาคเริ่มต้นที่ได้มีขนาดเล็ก ซึ่งสามารถอธิบายได้จากเมื่อตัวการเกิดปฏิกิริยาสูง จะเกิดการรวมกลุ่ม (Cluster) มาก ในช่วงแรก เป็นผลให้ออนุพันธ์ของไฮดรอกซีเมธิลที่เหลืออยู่มีปริมาณน้อย ทำให้อนุภาคที่เกิดขึ้นมีขนาดเล็กและมีช่องว่างระหว่างอนุภาคเล็ก ดังนั้น Aerogel ที่รองรับโคบอลและนิกเกิลจึงมีรูพ魯นแบบ เมโซและแมคโคร ส่วน Aerogel ที่รองรับเหล็กและทองแดงมีรูพ魯นแบบแมคโครเท่านั้น อย่างไรก็ตาม อนุภาคของโลหะทราบซีชันสำหรับงานวิจัยนี้มีขนาดค่อนข้างใหญ่ (ไม่เมตรเมตร) เนื่องจากเกิดการรวมตัวของอนุภาคโลหะ แต่การกระจายตัวของโลหะทราบซีชันบนวัสดุรองรับแสดงลักษณะการกระจายที่สม่ำเสมอสำหรับโคบอลและนิกเกิล โดยเหล็กและทองแดงมีช่วงการกระจายตัวที่ไม่สม่ำเสมอ

Job และคณะ (2004) ได้ศึกษาการเพิ่มประสิทธิภาพการกระจายตัวของโลหะทราบซีชันด้วย การเติมสารโครงสร้างชั้บช้อน (Complexing agent) และควบคุมความเป็นกรด-ด่างที่สภาวะเริ่มต้น ซึ่งการใช้สารโครงสร้างชั้บช้อน (Complexing agent) มีเหตุผลสองข้อหลักคือ เกลือโลหะอะซิเทต (metal salt acetate group) บางชนิดมีความสามารถในการละลายในตัวทำละลายที่เป็นน้ำได้ เช่น นิกเกิล อะซิเทต (Nickel acetate) แต่บางชนิดก็มีความสามารถละลายในสารละลายวิเชชันอล/ฟอร์มอลดีไฮด์ได้น้อย ดังนั้นสารโครงสร้างชั้บช้อนที่เติมลงไป เพื่อปรับปรุงความสามารถในการละลายของเกลือโลหะอะซิเทต อย่าง เหล็ก(III) อะซิเทต (Iron(III) acetate) และ พัลแลเดียม อะซิเทต (Palladium acetate) และป้องกันการตกตะกอนของของโลหะ เนื่องจากฟอร์มอลดีไฮด์มี

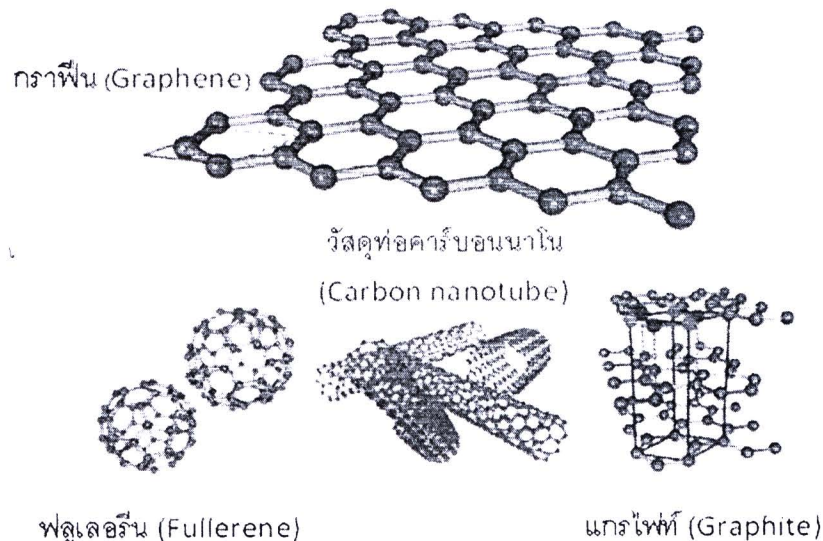
ความสามารถด้วยเป็นตัวรีดักแทนท์ (Reductant) ที่ดี บอยครั้งทำให้เกลือโลหะสามารถแตกตะกอน เป็นโลหะก่อนสภาวะการกลایเป็นเจล (Gelation) สิ่งที่เกิดขึ้นคือเจลวิลักษณ์ไม่เป็นเนื้อเดียวกัน (Heterogeneous gel) และโลหะจับตัวกันเป็นกลุ่มก้อน (Agglomeration) โดยขั้นตอนการสังเคราะห์ แบ่งออกเป็น 3 ส่วนคือ นิกเกิล อะซิเทตไม่จำเป็นต้องใช้สารโครงสร้างชั้บช้อนส่วนที่สอง คือ เหล็ก(III) อะซิเทต ใช้ Hydroxyethylethylene- diaminetriacetic (HEDTA) และส่วนสุดท้ายแพลเลเดียม อะซิเทต ใช้ HEDTA ซึ่งสามารถปรับปรุงสมบัติในการละลายได้จริงแต่ไม่สามารถขัดขวางการแตกตะกอนของ Pd^{2+} ในระหว่างกระบวนการกรากลายเป็นเจล จึงเปลี่ยนสารโครงสร้างชั้บช้อนเป็น Diethylethetriaminepentaacetic acid (DTPA) โดยอัตราส่วนโดยไม่ระบุว่า R/F เท่ากับ 0.5 และ ปริมาณโลหะที่ทำการเติม คือ ร้อยละ 1 โดยน้ำหนักของคาร์บอนต่อโลหะ รวมทั้งกำหนดช่วงความ เป็นกรด-ด่างที่สภาวะเริ่มต้นให้อยู่ในช่วง 4.50 ถึง 7.50 (ค่าความคlatentเคลื่อนที่ยอมรับได้เท่ากับ ± 0.05) เพื่อควบคุมลักษณะของรูปrunให้อยู่ในแบบ ไมโคร - เมโซ ซึ่งวัสดุคาร์บอนรูปrunที่สังเคราะห์ได้ นีพื้นที่ผิวอยู่ในช่วง 400 ถึง 700 ตารางเมตรต่อกรัม และปริมาตรของรูปrunอยู่ในช่วง 0.3 ถึง 2.1 ลูกบาศก์เมตรต่อกรัม ในขณะที่ความเป็นกรด-ด่างที่สภาวะเริ่มต้นต่างกว่ามาตรฐานที่กำหนด วัสดุ คาร์บอนที่สังเคราะห์ได้จะมีลักษณะรูปrunแบบไมโครและเมโซ เมื่อความเป็นกรด-ด่างที่สภาวะเริ่มต้น ฐานกว่ามาตรฐานมากๆ วัสดุคาร์บอนที่สังเคราะห์ได้จะไม่ปรากภูรูปrun โดยแท้จริงแล้วค่าความเป็น กรด-ด่างที่สภาวะเริ่มต้นขึ้นอยู่กับคู่ปฏิกิริยาโลหะ-สารโครงสร้างชั้บช้อน (Metal-Complexing agent pair) ด้วย โดยสารโครงสร้างชั้บช้อนจะทำหน้าที่ปรับปรุงลักษณะรูปrunแบบไมโครให้น้อยลง (พื้นที่ผิว ลดลง) และเกลือโลหะมีอทธิพลต่อลักษณะรูปrunแบบเมโซ (ลดปริมาตรรูปrun) ขนาดของอนุภาคโลหะ อยู่ในช่วง 20 นาโนเมตรหรือมากกว่า อย่างไรก็ตามสารโครงสร้างชั้บช้อนก็สามารถปรับปรุง ความสามารถในการละลายได้ดีขึ้น โดย HEDTA หมายสำหรับ เหล็ก(III) อะซิเทตและ DTPA หมาย สำหรับแพลเลเดียม อะซิเทต

2.5 กราฟีน (Graphene) (Ferones และคณะ (2010))

กราฟีน (Graphene) เป็นโครงสร้างของคาร์บอนที่มีหน้า 1 อะตอมของชั้นของอะตอม คาร์บอน ส่วนความหนาที่น้ำหนักเท่ากับความหนาของคาร์บอนเพียงอะตอมเดียว หรือประมาณ 0.34 นาโนเมตร (nanometer) โดยอะตอมคาร์บอนมีการเรียงตัวกันแบบ sp^2 ไฮบริด (sp^2 hybrid) ในระบบสองมิติ (รูปร่างของไฮบริดօอโรบิทัลนี้คือ สามเหลี่ยมแบบราบ (Planar Triangular) มุ่งระหว่าง sp^2 ไฮบริดօอโรบิทัลมีค่า 120 องศา) และประกอบขึ้นเป็นรูปหกเหลี่ยมซึ่งเกาะอยู่บนระนาบเดียวกันไปเรื่อยๆ จนมีลักษณะแบบรังผึ้ง (Honeycomb) แสดงดังรูปที่ ๔ และกราฟีนยังเป็นโครงสร้างพื้นฐานของวัสดุคาร์บอนบางประเภท คือ แกรไฟท์ (Graphite) วัสดุท่อคาร์บอนนาโน (Carbon nanotube) และฟลูเลอรีน (Fullerene)

ในปัจจุบันการสังเคราะห์กราฟีนนิยมใช้เทคนิคการตกสะสมไออกเมฟี (Chemical vapor decomposition; CVD) เป็นกระบวนการผ่านไออกซิเจนของสารประกอบไฮโดรคาร์บอนซึ่งใช้ทำหน้าที่เป็นแหล่งกำเนิดคาร์บอน เช่น มีเทน (CH_4) คาร์บอนมอนอกไซด์ (CO) อะเซทิลีน (C_2H_2) และเอทานอล (C_2H_5OH) เป็นต้น เข้าไปในเตาเผาที่มีอุณหภูมิโดยประมาณ 600-1200 องศาเซลเซียส โดยจะต้องมีตัวเร่งปฏิกิริยาหรือตัวรองรับที่มีขนาดอยู่ในระดับนาโนเมตร เพื่อทำให้มีเล็กน้อยของก๊าซแตกตัวกล้ายเป็นธาตุคาร์บอน จากงานวิจัยที่ผ่านมา Sutter และคณะ (2008) ได้สังเคราะห์กราฟีนโดยการตกผลึกบนฐานรอง (Epitaxial precipitate) อย่างรูทีเนียม (Ruthenium; Ru) ต่อมาก็ได้ทำการสังเคราะห์แผ่นกราฟีน (Graphene sheet) บนฐานรองรับที่มีพื้นที่มากขึ้น อย่างบันแผ่นทองแดง (Copper foil; Cu foil) จากแนวทางข้างต้น นักวิจัยได้ให้ความสนใจการสังเคราะห์ด้วยเทคนิคการตกสะสมไออกเมฟีที่ใช้ในการสังเคราะห์วัสดุท่อนานาโนคาร์บอน Reina และคณะ (2009) ประสบความสำเร็จในการสังเคราะห์แผ่นกราฟีนชั้นเดียว (Single graphene sheet) และแผ่นกราฟีนสองชั้น (Bilayer grapheme sheet) บนฟิล์มนิกเกิล (Nickel film) ด้วยการใช้มีเทนเป็นแหล่งกำเนิดคาร์บอนทำการเผาภายใต้สภาวะความดันบรรยากาศที่อุณหภูมิ 1,000 องศาเซลเซียส นอกจากนี้ฐานรองรับอย่างซิงค์ซัลไฟด์ (Zinc sulfide; ZnS) ยังทำหน้าที่เป็นฐานและตัวเร่งปฏิกิริยาในการสังเคราะห์แผ่นกราฟีนม้วน

ตัวเป็นริบบิน (Graphene sheet nanoribbon) โดยใช้มีเทนเป็นแหล่งกำเนิดcarbonและทำการเผา
ภายใต้สภาวะความดันบรรยากาศที่อุณหภูมิ 750 องศาเซลเซียส



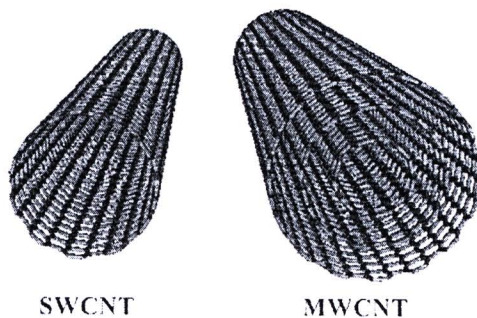
รูปที่ 2.9 โครงสร้างต่างของวัสดุcarbon

[<http://www.graphene.nat.uni-erlangen.de/grapheneng.htm>]

2.6 ท่อนาในcarbon

ท่อนาในcarbonเป็นอัญจูปหนึ่งของธาตุcarbonที่มีลักษณะเป็นทรงกระบอกลวงซึ่งเกิดจากการม้วนตัวของแผ่นกราฟฟิน โดยลักษณะของท่อนาในcarbonนั้นมีรูปร่างเป็นเส้นใยที่มีอัตราส่วนความยาวต่อเส้นผ่านศูนย์กลางที่สูง โดยท่อนาในcarbonนั้นเป็นวัสดุที่มีคุณสมบัติที่ดีอย่างมาก เช่น มีคุณสมบัติเชิงกลที่ดีโดยมีทั้งค่า ความเดันแรงดึง (Tensile Strength) และ modulusของยัง (Young's modulus) ที่สูง อีกทั้งยังเป็นสารที่มีพื้นที่ผิวที่สูง มีค่าการนำความร้อนและการนำไฟฟ้าที่ดี เป็นต้น ดังนั้นจึงทำให้ท่อนาในcarbonเป็นวัสดุที่กำลังเป็นที่สนใจเป็นอย่างมากในปัจจุบัน และได้มีการนำท่อนาในcarbonไปใช้ประโยชน์ในด้านต่างๆ สำหรับการแบ่งชนิดของท่อนาในcarbonนั้น โดยทั่วไป

จะแบ่งตามชั้นของแผ่นกราฟินที่ม้วนตัวกันเป็นทรงกระบอก โดยสามารถแบ่งได้เป็น ท่อนานิคาร์บอนแบบผนังชั้นเดียว (single-walled carbon nanotubes) และท่อนานิคาร์บอนแบบผนังหลายชั้น (multi-walled carbon nanotubes) ซึ่งแสดงให้เห็นในรูปด้านล่าง



รูปที่ 2.10 ท่อนานิคาร์บอนแบบผนังชั้นเดียวและแบบผนังหลายชั้น

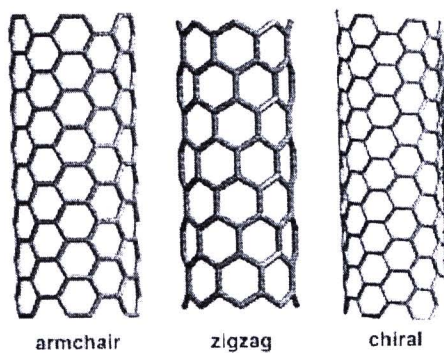
[<http://www-ibmc.u-strasbg.fr>]

สำหรับการแบ่งท่อนานิคาร์บอนแบบผนังชั้นเดียวยังสามารถแบ่งตามทิศทางการม้วนตัวของแผ่นกราฟินซึ่งสามารถแบ่งได้เป็น 3 แบบ คือ ซิกแซก(zigzag) ไครัล (chiral) และแบบ อาร์มแชร์ (armchair) และการสังเคราะห์ท่อนานิคาร์บอนในปัจจุบันมีอยู่หลายวิธี แต่วิธีที่เป็นที่นิยมใช้นั้นจะมีด้วยกัน 3 วิธี ได้แก่ วิธีตกสะสมไฮเคมี อาร์คิดิษชาร์จ และ ระเหยด้วยเลเซอร์

การตกสะสมไฮเคมี คือผ่านไออกไซด์ก๊าซของสารประกอบไฮโดรคาร์บอนซึ่งใช้ทำน้ำที่เป็นแหล่งกำเนิดคาร์บอน เช่น มีเทน (CH_4) คาร์บอนมอนอกไซด์ (CO) อะเซทิลีน (C_2H_2) และเอทานอล ($\text{C}_2\text{H}_5\text{OH}$) เป็นต้น เข้าไปในเตาเผาที่มีอุณหภูมิโดยประมาณ 600-1200 องศาเซลเซียส โดยจะต้องมีตัวเร่งปฏิกิริยาที่มีขนาดอยู่ในระดับนาโนเมตร เพื่อทำให้มอเลกุลของก๊าซแตกตัวกลาญเป็นรากุล คาร์บอน ซึ่งอนุภาคของท่อนานิคาร์บอนที่สามารถเตรียมได้นั้นจะขึ้นอยู่กับอุณหภูมิ ความดัน อัตราการไหลของก๊าซ สัดส่วนของต่อ嘴ของรากุล $\text{C}:\text{O}:\text{H}$ ในระบบ การคุณขนาดของอนุภาคของตัวเร่งปฏิกิริยา และระยะเวลาในการสังเคราะห์

อาเรคติสชาร์จ คือการผ่านไฟฟ้ากระแสตรงผ่าน แท่งแกรไฟฟ์ ที่ความดันศักดิ์ประมาณ 20-40 V โดยให้ระยะห่างระหว่าง ปลายแท่งอยู่ประมาณ 1-3 มิลลิเมตร ภายใต้บรรยากาศก๊าซเชื่อม ที่ความดันต่ำ 100-500 ทอร์ ซึ่งส่งผลให้แท่งแกรไฟฟ์ที่นั้นจะเหยียกลายเป็นไอของคาร์บอน แล้วควบแน่น เป็นท่อนาในคาร์บอนบริเวณปลายแท่งแกรไฟฟ์ที่ต่อ กับขั้วลบ (cathode) การควบคุมขนาดหรือจำนวนชั้นของท่อนาในคาร์บอน สามารถทำโดยการควบคุมความดัน อุณหภูมิ และการเติมตัวเร่ง ปฏิกิริยา เช่น เหล็ก นิกเกิล หรือโคบอลต์

การระเบิดด้วยเดเซอร์ คือยิงแสงเลเซอร์พลังงานสูงสู่แผ่นแกรไฟฟ์ที่มีส่วนผสมของตัวเร่ง ปฏิกิริยา ภายใต้ก๊าซเชื่อมที่ความดันต่ำประมาณ 500 ทอร์ อุณหภูมิประมาณ 1200 องศาเซลเซียส ซึ่ง วิธีนี้จะได้ปริมาณและคุณภาพของท่อนาในคาร์บอนดี แต่ต้องใช้แหล่งกำเนิดแสงที่มีพลังงานสูง



รูปที่ 2.11 โครงสร้างของท่อนาในคาร์บอนแบบผังชั้นเดียวรูปแบบต่างๆ [<http://coecs.ou.edu>]

